

图3 精子的相对活率和泳动速率随时间变化
● 为未加甲酸棉酚 + 为加甲酸棉酚

五、结果分析

1. 未加甲酸棉酚时，精子的泳动速率在45分钟内基本不改变，说明生命力强的精子其泳动速率保持不变。

2. 在45分钟的实验时间内相对活率下降

约90%，如果不加甲酸棉酚，精子在45分钟内相对活率下降小于10%，可见甲酸棉酚使精子致死能力极强。

3. 在实验过程中用显微镜观察到，精子只要与甲酸棉酚颗粒接触，即停止运动死亡。

以上实验初步可以认为甲酸棉酚能直接使精子致死，且杀伤力极强。但它如何作用于精子，其杀伤机理，还需进一步探讨。

本工作是中国科学院生物物理所沈淑敏教授指导下进行的。特此致谢。

参 考 文 献

- [1] Nossal, R.: *Opt. Commun.*, 4, 35, 1971.
- [2] Bcrne, B. J. et al.: *Biophys. J.*, 14, 865, 1974.
- [3] Shimizu, H. et al.: *Bio-med. Eng.*, 24, 153, 1977.
- [4] Jouannet, P. et al.: *Prog. reproduct. Biol.*, I, 28—35, 1976.
- [5] Herpigny, B. et al.: *J. Phys.*, 40, 1085, 1979.
- [6] Hallett, F. R.: *Biophys. J.*, 21, 203, 1978.
- [7] Shimizu, H. et al.: *Biophys. J.*, 29, 167, 1980.

[本文于1984年12月5日收到]

正常细胞和肿瘤细胞纤维蛋白溶酶原激活物活性的比较

刘朵花 张贺忠 何健 李崇熙 叶蕴华

(中国科学院生物物理研究所, 北京) (北京大学化学系)

PA是一类蛋白水解酶，它可以把血液中的纤维蛋白溶酶原(PGN)激活成纤维蛋白溶酶(PN)。PN也是一种蛋白水解酶，它可以把纤维蛋白凝块水解成可溶性的产物，它对由赖氨酸或精氨酸的羧基形成的肽键有专一性。

正常细胞用化学致癌物、肿瘤病毒等转化之后，纤维蛋白溶酶原激活物(PA)的活性可以提高几十倍，甚至上百倍^[1-4]。

Philip, L. Carl 等^[2]根据肿瘤细胞 PA 活性较高这一特点，正在研制一种选择性杀伤肿瘤细胞的新型抗癌药。即把具有一般杀伤作用但

无选择性的且含有氨基的抗癌药，接上一个含有赖氨酸或精氨酸的三肽，成为对正常细胞和肿瘤细胞杀伤作用都很低的“抗癌药前体”。在体内，当它运行到 PA 活性高的肿瘤组织时，其三肽可被 PN 切下来，使原来的抗癌药恢复强大的杀伤作用；而在 PA 活性低的正常组织中，抗癌药前体不变，无毒性或毒性很低。

我们的实验是根据纤维蛋白原在凝血酶的作用下，形成不透明的纤维蛋白凝块，而在纤维蛋白原中杂有的 PGN 被 PA 激活成 PN。PN 可把纤维蛋白切成小肽，使凝块溶解成透明状。我们用此法测定 PA 的活性，并比较它们在正

常细胞和肿瘤细胞内的水平，为抗癌药前体的应用提供一定的依据。

一、材料和方法

1. 试剂 纤维蛋白原(f)(Sigma)，凝血酶(T)(Sigma)，琼脂糖(上海东海制药厂)，尿激酶(uk，卫生部药品生物制品检定所)，“772”培养基(上海东风试剂厂)。

2. 癌细胞 EAT (从中国科学院遗传所引种)， H_{22} (腹水肝癌)， u_{14} (腹水型子宫颈癌)， S_{180} (腹水型肉瘤)分别从中国医学科学院基础所、药物所、中医研究院中药所和北京市肿瘤所引种。

小鼠腹水肿瘤细胞：腹水取出后，离心。上清液和细胞分别留作点样用。

正常细胞：小白鼠断头放血，取出所要的组织，按组织重量(mg)：制胶液体积(ml)=1:1匀浆；制胶液的组成为“772”：磷酸盐缓冲液(0.1M, pH7.4)=17:1，离心，取沉淀留作点样用。

3. 制胶 根据文献[5—7]的方法，稍作修改。将0.50g琼脂糖放入25ml的制胶液中，加热熔化后，冷至65℃，将它与25ml0.4%的人纤维蛋白原(杂有PGN)混合，再加入50单位凝血酶，倒入灭菌的培养皿中，置室温下形成5mm厚的凝胶，即成“标准平板”。把此平板置于85℃温箱中加热30分钟，使PGN失活，就成“加热平板”。在制好的平板上，打5—6排直径约3mm、间隔20mm的小孔。其中一排点不同单位数的标准样品，用做标准曲线，其余各孔点待测定的样品30—50μl。将平板置于37℃温箱中保温6小时，然后放在室温过夜，次日晨放入温箱，待溶圈明显后照相，并量出溶圈的直径。以最大直径(D_1)和最小直径(D_2)的乘积表示纤维蛋白溶解活性的大小。以UK的浓度为横坐标，各点的直径乘积为纵坐标，在双对数纸上作出UK的标准曲线。根据所测样品溶圈的直径乘积(纵坐标)在标准曲线上找出相应的UK浓度(横坐标)，从而得知各样品的PA水平。

二、结果与讨论

1. 肿瘤细胞的PA活性

小白鼠的四种腹水型肿瘤细胞均不同程度地具有PA活性(见图1A和B)。其活性强弱依次为 $H_{22} > S_{180} > EAT > u_{14}$ 。

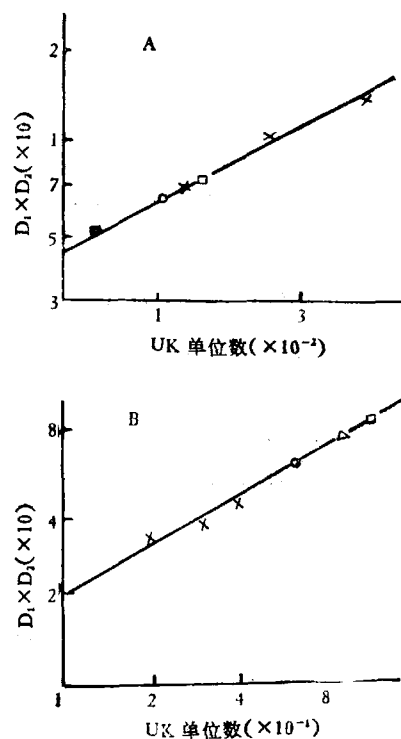


图1 肿瘤细胞PA活性的比较

各种癌细胞都点30μl, X: UK 各点溶圈 $D_1 \times D_2$ 的值。
□: H_{22} 细胞; ■: u_{14} 细胞; △: S_{180} 细胞; ○: EAT 细胞。

新鲜的腹水离心后，分别将其上清液和细胞点于标准平板上。在点细胞的平板周围出现很大的溶圈，而点上清液处产生的溶圈很小，这说明PA活性主要在腹水的肿瘤细胞部分。

PA是一种类似于尿激酶的蛋白水解酶，它间接水解纤维蛋白时依赖于PGN的存在。PGN在85℃保温30分钟后，完全失活^[8]。我们把癌细胞点在加热平板上，未见有溶解纤维蛋白的活性，这表明标准平板上的溶解活性确实是PA的作用，不是其他不需PGN的蛋白水解酶的作用(图3)。

两块平板点相同的上述样品，在标准平板

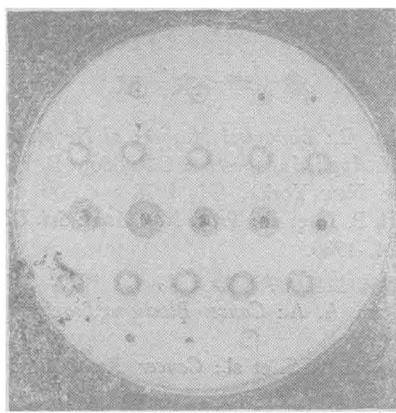


图2 肿瘤腹水上清液和细胞的PA活性比较

H_{22} 腹水离心(2500转/分)5分钟后,第1排每孔点其上清液40 μ l;第2排点 H_{22} 细胞40 μ l;第3排是 UK ,点样量依次为0.250、0.500、0.750、2.000、1.250单位,第4排点 u_{14} 细胞,每孔40 μ l;第5排点 u_{14} 腹水上清液,每孔40 μ l,37℃保温6小时,放置室温过夜(14小时),再放在37℃保温2小时,取菌斑相。

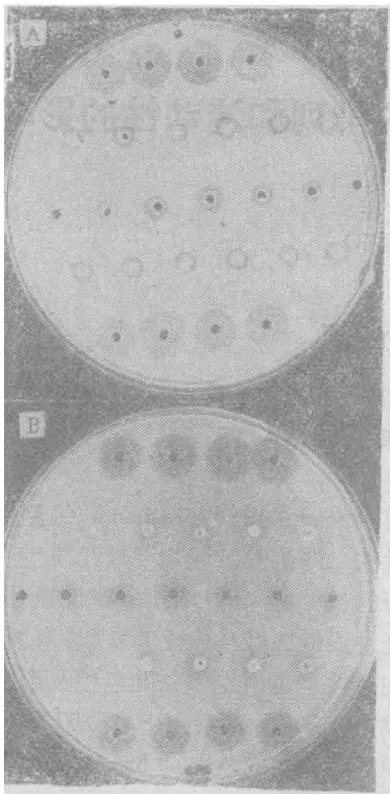


图3 平板加热或不加热与溶解活性

第1、第5排每孔点胰蛋白酶10 μ g;第2排点 H_{22} 细胞20 μ l;第3排点 UK 0.05、0.100、0.150、0.200、0.150、0.100、0.050单位;第4排点 FAF 腹水细胞 20 μ l。

上均表现出溶解活性,但在加热平板上只有胰蛋白酶有明显的溶圈。

2. 正常细胞的PA活性

在我们的实验条件下,测出肝癌细胞中的PA活性很高,而正常肝组织则测不出PA的活性;正常血液、骨髓、肌肉也都测不出PA的活性。血液必须经过酸化处理之后才能测出PA的活性^[9]。有些正常组织如肾、肺、脑等也有较高的PA活性,但它们受激素等调节。有人报道^[10],生理浓度的糖皮质激素就可以完全抑制正常细胞的PA活性,而癌细胞中的PA活性不受糖皮质激素影响。这类起调节作用的物质将来有可能成为新型抗癌药的佐剂,用它扩大正常细胞和肿瘤细胞在PA活性方面的差别,以便提高抗癌药的选择性杀伤癌细胞的功效。

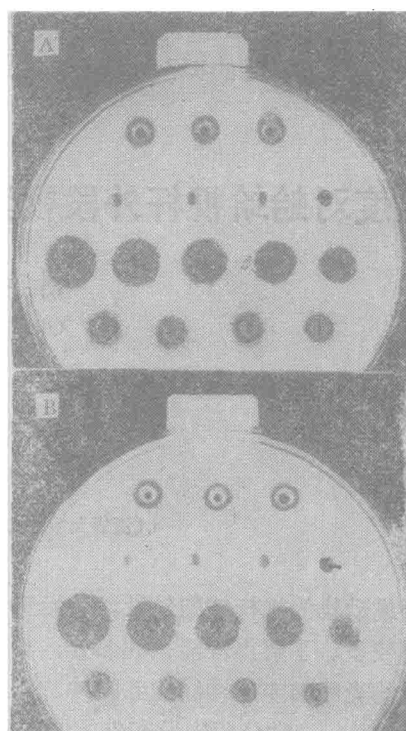


图4 糖皮质激素对癌细胞和正常组织(肾)的PA活性的抑制作用

A、B是两块相同的标准平板,点样品也相同,只是B板的制胶液中含有1mg/L氟美松。两板第1排每孔点 H_{22} 细胞30 μ l;第2排是空白;第3排点 UK ,依次为0.625、0.500、0.375、0.250、0.125单位;第4排点肾匀浆液30 μ l。从图A和B中可以看出,氟美松对癌细胞的PA活性影响不大,而对正常组织(肾)的PA活性有明显的抑制作用。

3. 我们的实验结果证明，四种肿瘤细胞都有较高的 PA 活性，肝癌细胞中尤其高，而正常肝组织则测不出。几种正常细胞如血液、骨髓、肌肉等 PA 活性甚低或者没有。这就为用“抗癌药前体”选择性杀伤癌细胞的设想提供了依据。某些正常细胞例如肾、肺、脑等也有较高的 PA 活性，但一些激素类物质对正常细胞的 PA 具有选择性的抑制作用^[10]，从图 4A 和 B 中可以看出，氟美松对癌细胞的 PA 活性影响不大，而对正常组织（肾）的 PA 活性呈明显的抑制 ($X_1 = 48.48 \pm 1.05$; $X_2 = 31.24 \pm 1.86$; $P < 0.01$)。这有助于加强该药的选择性。我们的结果表明骨髓和血液中 PA 活性很低，“抗癌药前体”在这里不会被激活，无毒性，这就可以避免一般抗癌药常有的对造血系统的毒害作用。

总起来看，用“抗癌药前体”选择性杀伤肿瘤细胞的设想有一定的实验根据，在一定范围

内，有较好的应用前景。

参 考 文 献

- [1] Reich, E.: *Biological Markers of Neoplasia: Basic And Applied Aspects* (ed Rudden R. W. Elsevier, New York), 491, 1978.
- [2] Carl, P. L. et al.: *Proc. Nat. Acad. Sci. USA*, 77, 2224, 1980.
- [3] 周爱如《生理科学进展》，11, 41, 1980。
- [4] Hakim, A. A.: *Cancer Biochem. Biophys.*, 5, 63, 1980.
- [5] Tucker, W. S. et al.: *Cancer Research*, 38, 297, 1978.
- [6] 叶智影等：《动物学研究》，2, 33, 1981。
- [7] 徐康森等：《药检工作通讯》，9, 241, 1979。
- [8] Lassen, M.: *Acta Physiol. Scand.*, 27, 371, 1953.
- [9] Liliana Ossowski, et al.: *J. Biol. Chem.*, 249, 4312, 1974.
- [10] Roblin, R.: *Biological Markers of Neoplasia: Basic And Applied* (ed. Rudden R. W. Elsevier) New York, 421, 1978.

【本文于1983年11月21日收到】

温度对蛤蚧视杆外段视紫红质分子的排列和流动性的影响

胡 坤 生 孙 其 坚

(中国科学院生物物理研究所, 北京)

赵 东 坡

(山东省中医药研究所, 济南)

赵 南 明

(清华大学近代生物学及生物医学工程研究所, 北京)

脊椎动物的视杆细胞外段，是光感受器中研究得较多、了解得较清楚的部分，其功能是把吸收的光线转变成神经的电脉冲。脊椎动物的视杆细胞，通常分成内段和外段两部分。外段中，大约有 90% 的细胞膜区域是由许多盘膜堆积而成的。因种类的不同，盘膜的数量在 500—2000 个之间。盘膜中类脂和视紫红质分子的排列较规则。Schmidt^[1] 和 Liebman^[2] 等测定视杆外段视紫红质分子的双折射时，发现在正常条件下，暗适应视杆细胞外段正的本质双折射大于负的形状双折射，也就是说总双折

射是正值。Schmidt^[1] 和 Denton^[3] 等测量细胞视杆外段的二向色性，证明视紫红质生色团垂直于视杆的长轴排列；Liebman^[4] 测量了青蛙视杆细胞外段的二向色性比为 6 (与双折射一样，二向色性也是由本质二向色性及形状二向色性组成)；Cone^[5] 观察到由偏振闪光诱导的蛙网膜中的瞬间二向色性。Brocon^[6] 观察到蛙网膜用戊二醛固定时轴二向色性的诱导，从而表明视红质分子在盘膜中存在着自由旋转运动。随后 Poo^[7]，Liebman^[8] 和 Edidin^[9] 等又发现了视紫红质分子在盘膜中的侧向扩散运